

海浜変形의 相似에 관한 研究

A study on the similarity of the beach deformation

東 大 教 授 金 一 鍾
· · 閔 丙 亨
密 離 裝 置 事 物 大 部 教 授 王 致 伸

1. 序論

最近 沿岸海域利用이 성행함에 따라 海浜変形의 実驗及予測法의確立가 중요시 되고 있는 것은 사실이다.

海浜変形의 巴因模型実験을 행하는 경우 外力條件, 海浜断面形状, 海底地形變化, 底質의 移動形態 등 모두 現地海岸과 相似로 되는 것이 이 理由이다.

그리고 이를 전부를 반복하는 相似則은 명확하게 확보하지 않았다.

本研究에서는 原型의 海雲台海浜을 題하여 海浜断面变化를 實測하여 原型과 模型에 있어서 海浜断面의 形狀及浸蝕,堆積의 判定期準은 二次元水理模型実験에서 定性的으로 相似가 되는 特性을 파악하고 現地 및 実験室에 適用할 수 있는 基準을 提案하려 한다.

2. 海浜変形의 両現性에 대한 相似

2-1. 底質縮尺의 決定

一般的의 破碎波及漂砂運動의 주요한 영역의 底部剪斷에는 実験室縮尺에 있어서도 同じ底抗則을 使用하게 된다.

따라서 마찰수도 U_m 은 Froude 数으로 缩尺화가된다.
 $\frac{W_m}{W \cdot p} = \frac{U_m}{U \cdot p} = (\lambda)^{\frac{1}{2}}$ (2-1)

여기서, λ : 無何學的 缩尺.

$m \cdot p$: 模型과 原型의 物理量은 同じ다.
 가 된다. 한편 沈降速度는 底質粒径, 液体의 質量, 數 등의 複雜한 函数가 된다.

Yalin의 의하면 $\frac{d'_{50}}{V} < 50$ (比重 2.65의 보래) 경우
 $d_{50} < 0.015\text{cm}$)의 時刻에서는 Stokes抵抗則이 成立
 $W_m \propto d_{50}^{\frac{1}{2}}$ 이 되고 한편 $\frac{d'_{50}}{V} > 10^4$ ($d_{50} > 0.1\text{m}$)
 의 時刻에서는 관용抵抗則에 따라 $W_m \propto d_{50}^{\frac{1}{3}}$ 이다.

$$W_m \propto d_{50}^{\frac{1}{2}} \text{ 으로 나타나는 경우는 式 (2-1) を 用いて} \\ \frac{d_{50m}}{d_{50p}} = \left(\frac{W_m}{W \cdot p} \right)^{\frac{1}{2}} = \lambda^{\frac{1}{2}} \quad \dots \dots \dots (2-2)$$

로 드러나 한편 $W_m \propto d_{50}^{\frac{1}{3}}$ 로써, 거기서는 領域에
 있어서는 (2-1) 을 用하여

$$\frac{d_{50m}}{d_{50p}} = \left(\frac{W_m}{W \cdot p} \right)^{\frac{1}{3}} = \lambda \quad \dots \dots \dots (2-3)$$

이 되고 底質粒径과 缩尺는 無何學的 缩尺과 같게
 되어 相似條件를 符合한다.

또한 $0.01\text{cm} < d_{50} < 0.4\text{cm}$ 에서의 沈降速度는
 $W_m \propto d_{50}^{-n}$, $\frac{1}{2} < n < 2$ (2-4)
 로되어 式 (2-4) 중의 n 는 다시 d_{50} 의 函数가 된다.

그리고 (2-4) 式 중의 n 의 異なる值이 明白하지 않으므로
 d_{50p} 에 대한 沈降速度 $W \cdot p$ 를 Yalin의 圖表에서
 읽고 式 (2-1)의 異なる值에 W_m 을 구하고 다시 d_{50m} 을
 이 圖表로 用하여 模型底質의 抵抗을 決定할 수 있다.

따라서 実験對象海浜의 時刻 (2-2), (2-3), (2-4),
 중의 어느 차과도 模型底質의 粒径과 底質縮尺를 決定
 할 수 있다.

2-2. 時間縮尺의 決定

海岸線直角方向 漂砂量의 時間變化에 대하여 Sawaragi等은 (2-4)
 式과 같이 定式화 하여 解析하고 있다

$$g_x - g_z \cdot \exp(-A \cdot \frac{t}{T}) \quad \dots \dots \dots (2-4)$$

여기서 g_x 는 海浜変形初期의
 漂砂量이고 Fig. 1에서 A는 減衰
 常數이고 $N_s = \frac{H_0}{T} / \sqrt{g d_{50}}$ 이다

시기 g_z 는 水平床에 用이되는

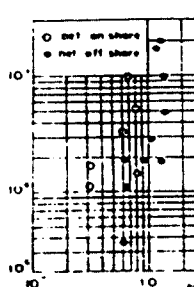


Fig. 1 Relation between A and N_s

漂砂移動률과 같이 표시하면 Madsen 등에 의해 다음과 같은 관계가 있다.

$$g^2 \cdot 10 \cdot d_{50} \propto (U^2 / g d_{50}) \quad \dots \dots \quad (2-5)$$

한편 A에 있어서는 Sawai et al. 등의 연구에서

$$A \propto (U^2 / \sqrt{g d_{50}})^2 \quad \dots \dots \quad (2-6)$$

와 같이 나타내었다.

式(2-4), (2-5), (2-6)을 고려하여 정리하면

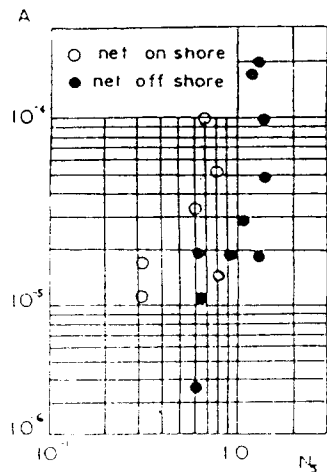


Fig-1 Relation between A and Ns

$$n_t = \lambda^{-\frac{2}{3}} \cdot n^2 d_{50} \cdot \exp\left(\lambda^2 \cdot n^2 d_{50} - 1\right) A_p M \quad \dots \dots \quad (2-7)$$

따라서幾何學的縮尺 λ , 底質縮尺 n , d_{50} 및
波浪의作用時間

$M (= \frac{n_t}{n})$ 이決定되면 式(2-7)에 의하여
時間縮尺 n_t 을 구할수 있다.

2-3 海浜断面의 相似

海浜断面은一般的으로 堆積型인가, 滅蝕型인가를
判別하는 基準中現地実驗室의 縮尺에適用되는
것은 아직까지 提案되고 있지 않다.

海浜断面之岸沖漂砂量의 海浜断面对する
分布에서 보아 Fig-2에서 나타내는 바와 같이汀線
이 滅蝕 하여 沖側에 堆積하는 型은 滅蝕型
이라 부르고汀線의 모래가 堆積하고 沖側이 滅蝕
하는 型은 堆積型이라고 부른다.

또 Fig II-1, II-2로
같이 海浜断面가 堆積型
바와 같이 中間型과 大別된다.

이 海浜断面의 滅蝕型
堆積型의 發生条件에 대해서
Horikawa, Sumamura, Sawanagi,
Deguchi 등의 研究가 있다.

Horikawa, Sumamura는
海浜変形의 發生条件을

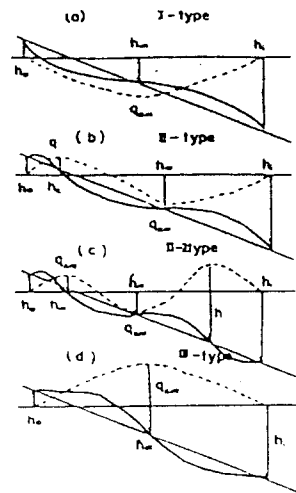


Fig-2 Classification of the deformation of beach profile

그마 길은 無次元量 'i'로 表示되고 있다.

$$C = (H_0 / L_0) (d / L_0)^{-0.17} (i)^{0.27} \quad \dots \dots \quad (2-16)$$

Horikawa 등은 実驗에 의해서 2.及 3. 다음과
같이 나타내었다.

$C < 3$ 堆積

$C > 8$ 滅蝕

그후 Sumamura 등은 実測結果에서 2.及 3.
다음과 같이 나타내었다.

$C < 18$ 堆積

$C > 18$ 滅蝕

Ozaki, Sumamura는 堆積, 滅蝕의 發生에
대해汀線前進,汀線後退의 기준을 다음과 같이
提議 했다.

$$K = \left(\frac{H_o}{L_o} \right)^{0.18} \cdot \sqrt{g \cdot H_b} \quad d_{50}^{-1.8} \geq 64 \quad \text{牙線後退} \dots (2-m) \\ \text{河線前進}$$

여기서 H_b 는 碎波波高이고 単位는 cm를 使用 한다.

관련 Sawaragi; Deguchi; 는 無次元量으로서
推進型 淹食型을 다음과 같이 구분하였다.

$$N_{sr} = \frac{q T d b_0}{z \pi v} \leq 10^3 \quad \text{堆積} \quad \dots \dots \quad (z-18)$$

2021 上式은 ^의波高의 效果가 ^及卫여되며 ^는 _는
欠點을 가지고 있다.

3. 海浜現況

3-1 波浪觀測 現況

原型으로 海雲台 海濱을 이용하였으며 周期
부산 해운창연점에서 관측한 값이며 波高的 평균
되어 있는 부산만 5MB 회색의 하여 計算하였으며
觀測된 資料는 Table1과 같다.

| Date | V | H. | T | H/L | Remark |
|-----------|------|------|---|-------|-------------|
| 81.10.24 | 10 | 2.04 | 6 | 0.016 | 10.25일 단면측정 |
| 1.27 | 6 | 0.12 | 6 | 0.049 | |
| 12.17 | 3.7 | 1.13 | 7 | 0.047 | |
| 82. 1. 6 | ~3 | 3.07 | 8 | 0.011 | 1.7일 단면측정 |
| 2.7 | 9.3 | 1.61 | 7 | 0.018 | |
| 3.10 | 10.3 | 1.64 | 6 | 0.027 | 3.11일 단면측정 |
| 3.18 | 7.3 | 1.09 | 6 | 0.019 | |
| 4.16 | 9.0 | 1.31 | 6 | 0.023 | |
| 6.6 | 1.0 | 0.33 | 6 | 0.016 | |
| 83. 1. 22 | 7.3 | 0.36 | 8 | 0.004 | |
| 8. 4 | 6.7 | 0.33 | 6 | 0.016 | |
| 8. 23 | 1.3 | 1.06 | 6 | 0.019 | |
| 84. 1. 6 | 4.7 | 0.12 | 6 | 0.009 | |
| 2.16 | 4.0 | 0.73 | 5 | 0.019 | |
| 4.8 | 4.3 | 0.59 | 4 | 0.022 | |
| 6.1 | 4.7 | 0.34 | 5 | 0.008 | |
| 7.20 | 3.7 | 0.11 | 6 | 0.009 | |

Table-1. The observed data.

3.-2 代表地點之 橫斷變化

海雲台 白砂場을 20m 간격의 海點으로 조성
Beach 부터 시작한 No. 1부터 No. 81 까지 海點을 정하고
橫斷剖面를 実測하였다.

이것으로 부터 No.23, No.44, No.45을 代表地點을
하였으며 이 代表地點으로 부터 漢字, 雜種의 变化
를 관찰하였다.

3-3 續海 海底物質

海況與海底物質調查計划中央粒徑

과比重及海底礦料 등을 조사한 결과 Table-2 와 같다

Medium diameter specific gravity of
Table-2 beach sand

| Point Date | No. | 23 | No. | 49 | No. | 65 |
|---------------|---------------------|-----------|---------------------|-----------|---------------------|-----------|
| | sum. mm slice | dtr Gz | sum. mm slice | dtr Gz | sum. mm slice | dtr Gz |
| 81. 10. 25 | Y ₁₂ | 0.01 | Y ₁₃ | 0.01 | Y ₁₄ | 0.00 |
| 11. 27 | Y ₁₀ | 0.50 | Y ₁₄ | 0.02 | Y ₂₇ | 0.40 |
| 12. 19 | Y ₁₂ | 0.36 | Y ₁₇ | 0.01 | Y ₂₄ | 0.46 |
| 82. 1. 7 | Y ₁₁ | 0.05 | Y ₁₄ | 0.03 | Y ₂₀ | 0.45 |
| 2. 7 | Y ₁₂ | 0.65 | Y ₁₃ | 0.22 | Y ₁₄ | 0.45 |
| 3. 11 | Y ₁₁ | 0.19 | Y ₁₇ | 0.01 | Y ₂₃ | 0.03 |
| 3. 17 | Y ₁₃ | 0.19 | Y ₁₄ | 0.03 | Y ₂₅ | 0.00 |
| 5. 16 | Y ₆ | 0.46 | Y ₁₅ | 0.04 | Y ₂₆ | 0.39 |
| 6. 6 | Y ₁₀ | 0.16 | Y ₁₅ | 0.01 | Y ₂₇ | 0.27 |
| 83. 1. 22 | Y ₁₀ | 0.46 | Y ₁₉ | 0.41 | Y ₂₁ | 0.39 |
| 8. 4 | Y ₃ | 0.47 | Y ₂₀ | 0.04 | Y ₂₅ | 0.47 |
| E. 23 | Y ₁₂ | 0.13 | Y ₁₉ | 0.01 | Y ₂₅ | 0.09 |
| 84. 1. 6 | Y ₁₃ | 0.19 | Y ₂₁ | 0.01 | Y ₂₇ | 0.07 |
| 2. 14 | Y ₁₂ | 0.48 | Y ₁₄ | 0.13 | Y ₂₃ | 0.41 |
| 4. 11 | Y ₁₉ | 0.48 | Y ₂₁ | 0.01 | Y ₂₆ | 0.04 |
| E. 1 | Y ₁₃ | 0.19 | Y ₂₀ | 0.01 | Y ₂₇ | 0.01 |
| 9. 20 | Y ₁₇ | 0.19 | Y ₂₀ | 0.03 | Y ₂₄ | 0.41 |

4. 陰型斗 滲蝕，堆積斗限界式

4-1. Horikawa 式에 의한 海誤文形

Horikawa 等의 浸蝕·堆積을 바탕해 (e-16) 式을 海雲台 해역에 적용하여 Table 2 예시와 같이 $C > 1$ 이면浸蝕, $C < 1$ 이면堆積으로 趨明되어 海雲台 해역에 浸蝕·堆積의 경계를 다음과 같이 提案한다.

$$C = \left(\frac{H_0}{L_*}\right) \left(\frac{d}{L_*}\right)^{-0.6} (4)^{a+2} \gtrsim 7 \text{ 光年} \quad \dots \quad (4)$$

또 C₆H₆은 Fig 3에서 보는 바와 같이 $\frac{N_2}{H_2}$ 의 합수로서
가장 적합하다.

여기서 H_0/L_0 가 0.024를 경계로 하여 흡착斗堆積을 분류할 수 있다.

4-2 修正式의 해상변形

Sawarag; 等는 浸蝕, 堆積을 動特性能數를 고려한 (2-18) 式에서 浸蝕, 堆積의 差別을 海雲台 滅洪에서 적용하여 보았으나 한계를 넘어 이 式은 变形하여 海決變形의 영역을 구현한다. 다음과 같이 限界式이区别되었다.

$$N_{Sr} = q \cdot T d_{50}^{\frac{H_2}{H_2}} / \pi \cdot s \geq 100 \quad \begin{array}{l} \text{浸蝕} \\ \text{堆積} \end{array} \quad \dots \dots \quad (4-2)$$

実測値과의比較計算結果는 Table 4 및 Fig. 4와 같다.
 Fig. 4에서의 선이 N_{sr} 는 $\frac{H_0}{L}$ 의 함수로 볼수 있으므로 이를

(4-2) 式에 의해 구한結果를 plot한 결과는

가 0.024에서 침식,堆積의 限界가 0.025를 알수있다.

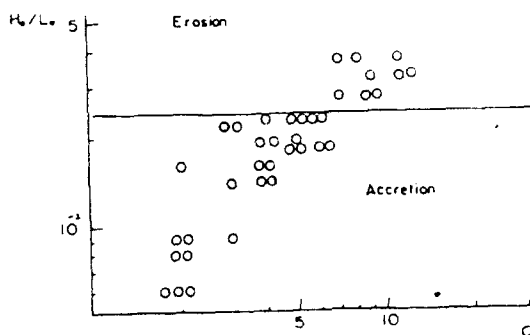


Fig. 3 Relation between H/L_c and C

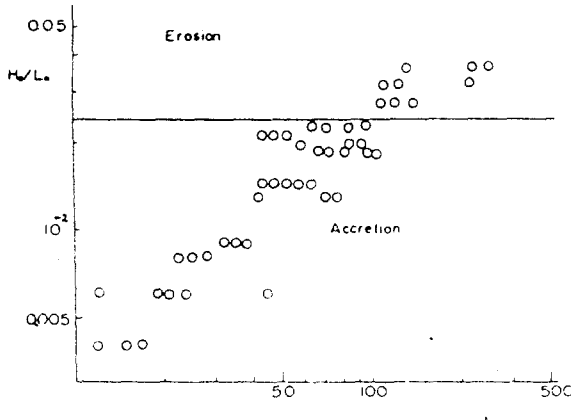


Fig - 4 Relation between H_0/L_0 and N_{sr}

The classification of the erosion and the accretion
by Value C

Table - 3

| 測定 日付 Date | C | No. 23 | No. 44 | No. 65 | Remark | |
|------------------|-------|--------|--------|--------|--------|----|
| | | 実験区分 | 実験区分 | 実験区分 | | |
| 21.10.25 | 8 | 浸軟 | 7 | 透軟 | 11 | 浸軟 |
| | 11.27 | 2 | 唯種 | 2 | 唯種 | 唯種 |
| | 12.7 | 4 | 唯種 | 4 | 唯種 | 唯種 |
| 22.1.7 | 9 | 透軟 | 10 | 透軟 | 10 | 透軟 |
| | 2.7 | 5 | 唯種 | 6 | 唯種 | 1 |
| | 3.11 | 9 | 透軟 | 3 | 透軟 | 9 |
| | 3.11 | 4 | 唯種 | 5 | 唯種 | 4 |
| | 5.6 | 4 | - | 6 | - | 1 |
| | 6.6 | 1 | - | 2 | - | - |
| 23.1.22 | 2 | 唯種 | 2 | 唯種 | 2 | 唯種 |
| | 8.4 | 2 | - | 2 | - | 2 |
| | 8.23 | 4 | - | 2 | - | 4 |
| 23.1.16 | 5 | 唯種 | 6 | 唯種 | 6 | 唯種 |
| | 2.16 | 4 | - | 4 | - | 4 |
| | 4.11 | 3 | - | 3 | - | 3 |
| | 6.1 | 2 | - | 2 | - | 1 |
| | 9.20 | 3 | - | 2 | - | 2 |
| | | | | | | |

The classification of the erosion and the accretion by Water temperature

Table - 4

| Date | 水深(m) | S compaction NBR | No.23 | | No.44 | | No.65 | |
|----------|-------|------------------------|-------|-----|-------|-----|-------|-----|
| | | | 澳洲巴分 | NBR | 澳洲巴分 | NBR | 澳洲巴分 | NBR |
| 81.10.25 | 20.8 | 0.0100 | 221 | 浸蝕 | 211 | 浸蝕 | 141 | 浸蝕 |
| 11.27 | 14.9 | 0.0115 | 80 | 堆積 | 82 | 堆積 | 46 | 堆積 |
| 12.17 | 13.4 | 0.0118 | 76 | 堆積 | 197 | 堆積 | 80 | 堆積 |
| 82.1.7 | 9.8 | 0.0120 | 223 | 浸蝕 | 128 | 浸蝕 | 113 | 浸蝕 |
| 2.7 | 7.2 | 0.0141 | 97 | 堆積 | 92 | 堆積 | 69 | 堆積 |
| 3.11 | 9.5 | 0.0132 | 129 | 浸蝕 | 119 | 浸蝕 | 111 | 浸蝕 |
| 3.17 | 10.1 | 0.0129 | 94 | 堆積 | 59 | 堆積 | 24 | 堆積 |
| 5.16 | 12.9 | 0.0120 | 86 | " | 75 | " | 59 | " |
| 6.6 | 13.2 | 0.0119 | 45 | " | 19 | " | 12 | " |
| 83.1.22 | 9.9 | 0.0133 | 17 | 堆積 | 15 | 堆積 | 12 | 堆積 |
| 8.4 | 15.9 | 0.0112 | 24 | " | 20 | " | 19 | " |
| 8.23 | 24.0 | 0.0093 | 61 | " | 57 | " | 57 | " |
| 84.1.6 | 10.2 | 0.0127 | 97 | 堆積 | 76 | 堆積 | 63 | 堆積 |
| 2.16 | 10.5 | 0.0126 | 56 | - | 50 | " | 47 | " |
| 4.11 | 11.3 | 0.0126 | 52 | - | 48 | - | 45 | " |
| 6.1 | 11.0 | 0.0107 | 28 | - | 25 | - | 23 | " |
| 6.20 | 22.4 | 0.0076 | 24 | " | 37 | " | 35 | " |

5. 水理実験

5-1. 実験装置

길이 25.2m × 넓이 1.0m × 높이 0.6m인 한쪽면이一封은 아크릴판을 장인工次元造波水槽을 사용하였다.

造波装置은 反射防止는 T-5와 같이 倾斜 $1/60$ 의 鋼製水路床을設置하고 水深 10m 보다 얕으나는 $1/10, 1/20, 1/30$ 의 倾斜을具有. 그보다 깊은 곳은 $1/60$ 의 倾斜이 되었고 $d_{50}=0.2\text{ mm}$ 의 混合砂를 填하여 模型海床으로 하였으며 그 두께는 10~20 cm가 되게 하였다.

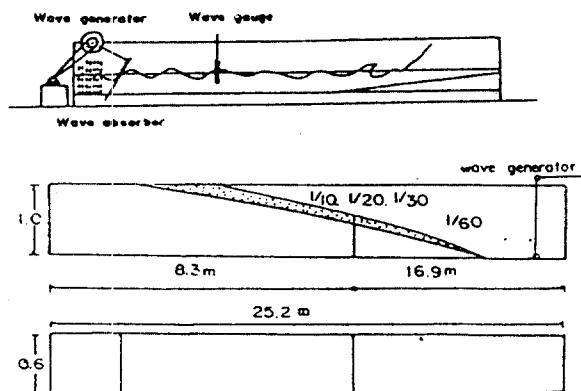


Fig-5 Schematic representation of the experiment flume

5-2. 実験对象波浪의 決定

本実験에서는 現地海岸에서의 4주 동안의 週期波의 波浪記録으로부터 年平均浸蝕性을 보이는 6種類의 実験对象波浪으로 選定하고 Table-5에 紹介하였다.

Wave characteristics used in the experiment
(in the field)

| Wave No. | H_o (cm) | T (sec) | H_o/L_o | N_s |
|----------|------------|---------|-----------|-------|
| W-1 | 1.0 | 8 | 0.010 | 1.25 |
| W-2 | 1.5 | 8 | 0.015 | 1.87 |
| W-3 | 2.0 | 8 | 0.020 | 2.50 |
| W-4 | 2.5 | 9 | 0.020 | 2.80 |
| W-5 | 3.0 | 9 | 0.024 | 3.0 |
| W-6 | 3.5 | 9 | 0.028 | 3.46 |

5-3. 模型縮尺의 決定

1)幾何學的 縮尺의 決定

本実験吶所의 実験水槽의 크기로 破波에 대한縮尺效果에 대한 Diaphus의 実驗結果를 고려하여幾何學的 縮尺 $\lambda = 1/60$ 을 設定.

old Table-6의 波浪수特性에 대한 Table-6의 縮尺의 計算法을 引입하여

Wave characteristics used in the experiment
(in the model)

| Wave No. | H_o (cm) | T (sec) | H_o/L_o |
|----------|------------|---------|-----------|
| W-1 | 3.3 | 1.46 | 0.010 |
| W-2 | 5.0 | 1.46 | 0.015 |
| W-3 | 6.7 | 1.46 | 0.020 |
| W-4 | 8.3 | 1.64 | 0.020 |
| W-5 | 10.0 | 1.64 | 0.024 |
| W-6 | 11.7 | 1.64 | 0.028 |

2)底質縮尺의 算定

現地底質砂의 平均粒径 $d_{50p} = 0.61\text{ mm}$ 이므로 $d_{50m} = \frac{1}{60}d_{50p} = 0.0101\text{ cm}$ 에 대한 浸蝕速度 W_{op} 를 Yalin의 式에 대입하여 $W_{op} = 12.5\text{ cm/sec}$ 를 구하였다.

$W_{om} = (\lambda)^{\frac{1}{2}} W_{op} L + \text{cm/sec}$ 가 되고 이 W_{om} 의 对應하는 d_{50m} 을 역시 Yalin의 式에 대입하여 $d_{50m} = 0.018\text{ cm}$ 인 底質粒径은 模型底質砂의 決定하였다. 이때의 底質粒径의 縮尺은

$$\frac{d_{50m}}{d_{50p}} = \frac{0.018\text{ cm}}{0.0101\text{ cm}} = 1.78$$

3)時間縮尺의 算定

時間縮尺를 決定하는 式 (Z-12)에 $\lambda = 1/60$, $m d_{50} = \frac{1}{60}$ 을 대입하고 解리하면 $n_t = 14.10 \exp(-0.99 A_p \cdot N)$

현지의 N_s (N_{sp})는 1~3의 欄위이므로 A 의 値는 $10^3 \sim 10^4$ 로 추정된다.

여러개時間縮尺를 決定하는 式

$n_t = \text{造波開始直後에는 } e^{-0.99 A_p \cdot H} \approx 1.0 \text{ 이 되므로 } n_t = 14.10$
즉 模型의 造波時間의 약 $\frac{1}{60}$ 이 現地時間에 대비하여 造波數 M 의 증가와 함께 時間縮尺의 値가 감소하도록減少해간다.

現地 A의 깊은 10^{-3} 정도로 추정되며

| | |
|-------------|----------------|
| 100 波에서는 | $n_t = 14.10$ |
| 500 波에서는 | $n_t = 8.59$ |
| 1,000 波에서는 | $n_t = 5.23$ |
| 5,000 波에서는 | $n_t = 0.10$ |
| 10,000 波에서는 | $n_t = 0.0007$ |

本実験 砂波浪의 平均周期를 8秒라 하면
이 浪波이 10時間 作成했을 때 作成浪数 $N \approx 4500$
波가 되므로 $n_t = 0.104$ $\therefore t_m = 98\text{分}$

5-2 実験方法

波高と 割度を 容量式 波高計에 의하였고 또
海浜断面의 割度는 砂波測量器로 测定하였다

実験은 다음 순서로 하였다.

i) 먼저 水深 10cm 보다 깊은 것은 $1/60$, 10cm 보다 얕은 것은
 $1/10$, $1/20$, $1/30$ 의 倾斜에 되도록 整地된다.

ii) W-1 ($H_o = 2.3\text{ cm}$ $T = 1.46\text{ sec}$)의 波를 98分 作用시켜
서 現地의 初期 海浜断面을 测한 후 이 平均断面을
測定한다.

iii) 다음에 波浪이 作用時間이 5分, 15分, 30分, 60分, 98分
이 重複마다 造波를 中止하고 海浜断面形状을 测定한다.

5-3 実験結果

i) 海浜断面의 再現性

水深 10cm 보다 얕은 것은 $1/60$, 10cm 보다 깊은 것은 $1/10$
及 정지한 W-1 ($H_o = 2.3\text{ cm}$, $T = 1.46\text{ sec}$)의 波를
98分 作用시킨 후의 海浜断面이 어느정도 現地海浜
断面과 再現하고 있는가를 검討한것이 Fig-6이다.

이一致의 証據이 된다.

된 그림자는 実験と 現地의 平均 海浜断面의
의 平均的인 形狀을 나타낸 것이다.

Fig-6에서 現地와 実験이 其の 海浜断面을 각수록.

⇒ Horikawa 式에 의한 海浜断面의 相似

Horikawa, Sunamura 式에서 勾配를 $1/10, 1/20, 1/30$
로 변화시켜서 얻은 C값에 의한 浸蝕,堆積
을 実験한 결과 勾配 및 C값과는 関係없이
 $H_o / 10 \geq 0.024$ 浸蝕이 생겨 現地의 浸蝕,堆積
의 限界와 相似가 이루어짐을 Table-7 및 Fig-7로
부터 알 수 있었다.

Test results of the value C according to the
Table-7 Slope and wave Steepness

| Wave No. Waveno. Waves Number | H_o (wave height) (波高) m | T (wave period) (波浪周期) sec | H_o / L_o (wave steepness) (波浪割度) | i (slope) (傾斜) | dc = 1 (d = 1) (冲積) | C | Remark |
|--|-------------------------------------|-------------------------------------|---|----------------------|---------------------------|--------|--------|
| W-1 | 3.3 | 1.0 | 1.46 | 8 | 0.010 | $1/10$ | 6 |
| | | | | | | $1/20$ | |
| | | | | | | $1/30$ | |
| W-2 | 5.0 | 1.5 | 1.46 | 8 | 0.015 | $1/10$ | 9 |
| | | | | | | $1/20$ | |
| | | | | | | $1/30$ | |
| W-3 | 6.7 | 2.0 | 1.46 | 8 | 0.020 | $1/10$ | 12 |
| | | | | | | $1/20$ | |
| | | | | | | $1/30$ | |
| W-4 | 8.3 | 2.5 | 1.64 | 9 | 0.020 | $1/10$ | 14 |
| | | | | | | $1/20$ | |
| | | | | | | $1/30$ | |
| W-5 | 10.0 | 3.0 | 1.64 | 9 | 0.024 | $1/10$ | 15 |
| | | | | | | $1/20$ | |
| | | | | | | $1/30$ | |
| W-6 | 11.7 | 4.5 | 1.64 | 9 | 0.028 | $1/10$ | 19 |
| | | | | | | $1/20$ | |
| | | | | | | $1/30$ | |

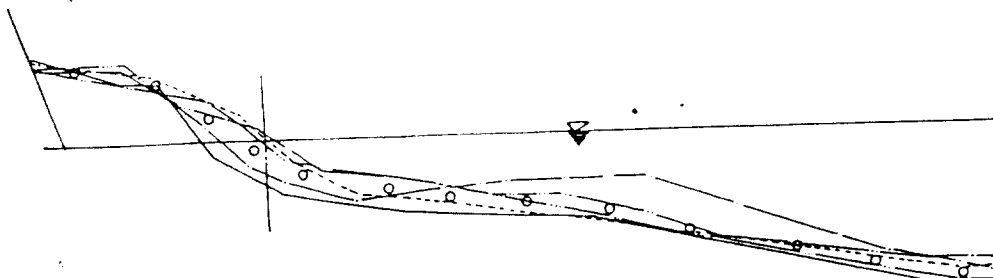


Fig-6 Comparison between profiles of natural and model beach

Fig-6에서 實線은 現地의 海浜断面을 表す

3) 修正式의 의한 海浪変形의 相似

$$Nsr = \frac{g T d_{50} H_0}{2 \pi V}$$
 的 式에의 實驗室의 水深

測定하여 動特性係數을 고려한 式에의 2차의 波高周期를 Froude 제에 따라 축척한 결과의 자료로서 結果는 順次 여러가지 부정한 諸数의 단계에 의하여 浸蝕, 堆積이 생길을 알수 있었다.

Table-8 및 Fig-8과 같은이 다음과 관계가 提案되었다.

$$Nsr = \frac{g T d_{50} H_0}{2 \pi V} > 8 \quad \text{浸蝕}$$

堆積

$$\text{Fig-8에서 } H_0/L_0 \text{와 } Nsr \text{의 } \text{함수에 } \frac{H_0}{L_0} > 0.024$$

浸蝕이 생기 原型과 相似가 생길을 알수 있었다.
堆積이 생기 原型과 相似가 생길을 알수 있었다.

Test results of the erosion and the accretion to the dimensionless formula
Table-8, incertion to the dimensionless formula

| WAVENO | H_0/L_0 | | t (°C) | Viscosity | Nsr | Remark |
|--------|---------|-------|--------|-----------|-----|--------|
| | H00 | PRO | | | | |
| W-1 | 0.010 | 0.010 | 0 | 0.018 | 3 | 堆積 |
| W-2 | 0.015 | 0.015 | 3 | 0.016 | 4 | 堆積 |
| W-3 | 0.020 | 0.020 | 2 | 0.0165 | 6 | 堆積 |
| W-4 | 0.020 | 0.020 | 5 | 0.0150 | 7 | 堆積 |
| W-5 | 0.024 | 0.024 | 5.5 | 0.0148 | 8 | 浸蝕 |
| W-6 | 0.028 | 0.028 | 6 | 0.0145 | 10 | 浸蝕 |

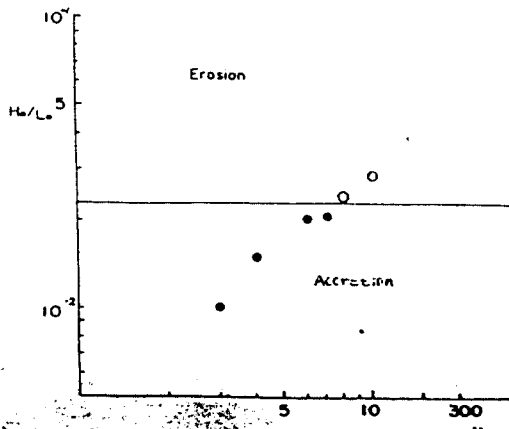


Fig-8 Relation between H_0/L_0 and Nsr

6. 結論

1) 原型(海岸 海洋)

① Horikawa 等이 提案한 式에 대して 代表断面之 調査과 比較한結果 다음과 같이 구별되었다.

$$C = (H_0/L_0) \left(\frac{d}{L}\right)^{-0.67} (i)^{0.22} \geq 7 \quad \text{浸蝕}$$

堆積

또 波形傾斜(H_0/L_0)와는 $H_0/L_0 \geq 0.024$ 浸蝕의 堆積의

限界가 생길을 알수 있었다.

$$\text{② 發表者가 提案한 } Nsr = \frac{g T d_{50} H_0}{2 \pi V} \geq 100 \quad \text{浸蝕}$$

으로 現地의 実測等의 資料에서 区別 되었으며 또 $H_0/L_0 \geq 0.024$ 浸蝕의 限界가 생길을 알수 있었다.

堆積

2) 模型(実験室)

① Horikawa 等이 提案한 式에서 浸蝕, 堆積之 実験室 결과 구별(i) 및 C 값과는 관계없이

$H_0/L_0 \geq 0.024$ 浸蝕으로 原型과 相似가 아니었다.

堆積

② 發表者가 提案한 $Nsr = \frac{g T d_{50} H_0}{2 \pi V} > 8$ 浸蝕의

限界가 구별되었고 $H_0/L_0 \geq 0.024 \geq$ 浸蝕으로서 原型과

堆積

相似性이 이루어진은 알수 있다.

③ 發表者가 提案한 式의 実験에 海浪條件之 H_0/L_0 底質은 0.2~0.3가 現地와 대비해 훨씬 面積性

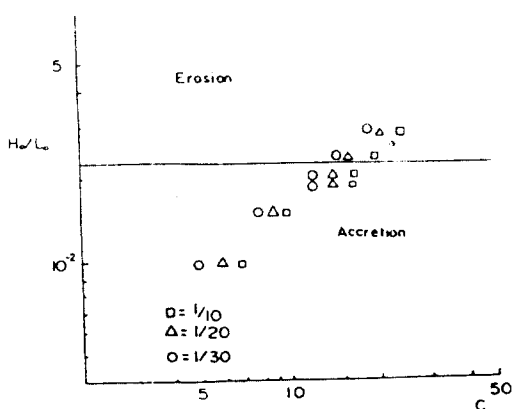


Fig-7 Relation between H_0/L_0 and C

이 이론이 겠다.

④ Johnson은 실험에 의하여 $\frac{H_0}{(G_s - \rho) \cdot L_0}$ 와 $\frac{H_0}{L_0}$ 의 합수에 천이 구간이 나타났지만 본인의 실험과
실험에 의한 바에 의하면 浸蝕, 推積의 限界가
0.024로서 現地와 模型에 서로 상자가 이루어져
海雲台 海浜에 있어서는 波形傾斜을 얻면 浸蝕
推積은 얻수 있다.